

Tetramethyl Bisphenol-A Polyarylate와 Poly(hexamethylene sebacate)의 상용성

안태완·이무영·정한모*·조길원**

서울대학교 공업화학과, *울산대학교 화학과, **포항공과대학 화학공학과

(1993년 1월 13일 접수)

Miscibility of Tetramethyl Bisphenol-A Polyarylate with Poly(hexamethylene sebacate)

Tae Oan Ahn, Muyoung Lee, Han Mo Jeong*, and Kilwon Cho**

Dept. of Chemical Technology, Seoul National University, Seoul 151-742, Korea

*Dept. of Chemistry, University of Ulsan, Ulsan 680-749, Korea

**Dept. of Chemical Engineering, Pohang Institute of Science and Technology, Pohang 790-600, Korea

(Received January 13, 1993)

요약 : 합성한 tetramethyl bisphenol-A(TMBPA) 단량체를 사용하여 tetramethyl bisphenol-A polyarylate(TMPAr)를 합성하였다. TMPAr과 poly(hexamethylene sebacate)(PHS)를 methylene chloride를 용매로 사용하여 solvent casting 방법으로 블렌딩하고, 시차주사열량계(DSC)로 유리전이온도(T_g)를 측정하여 상용성을 조사하였다. TMPAr/PHS의 블렌드는 전 조성에서 한 개의 T_g 를 가짐을 확인하였고, 녹는점 내림(melting point depression)방법으로 구한 두 고분자의 상호작용인자 B 값은 $-2.74(\text{cal}/\text{cm}^3)$ 이었다.

Abstract : Tetramethyl bisphenol-A polyarylate(TMPAr) was synthesized with the prepared tetramethyl bisphenol-A(TMBPA) monomer. TMPAr was blended with poly(hexamethylene sebacate)(PHS) by solvent casting and the miscibility of TMPAr/PHS blends was examined with the glass transition behaviour measured by differential scanning calorimetry(DSC). TMPAr was found to be miscible with PHS at all compositions and interaction parameter B determined from melting point depression method was $-2.74(\text{cal}/\text{cm}^3)$.

서 론

지난십여년간 고분자 블렌드에서 상용성을 보이는 많은 계들이 보고되었다.^{1~3} 일반적으로 고분자를 블렌딩하는 경우 저분자에서와는 달리 엔트로피

의 증가가 작기 때문에 대부분의 계가 상분리 거동을 보이며, 고분자 블렌드가 상용성을 갖기 위해서는 엔탈피의 기여, 즉 두 고분자 간의 수소결합, 이온-이온 결합, 쌍극자-쌍극자 결합 등에 의한 특별한 분자 간의 상호작용이 있어야 한다.

Tetramethyl Bisphenol-A Polarylate와 Poly(hexamethylene sebacate)의 상용성

고분자 블렌드의 상거동은 구성 성분들의 분자구조에 의해 영향을 받으므로 분자구조를 적당히 변형시키면 상용성을 향상시킬 수 있다.^{1,4} 특히 부분적인 상용성을 보이거나 섞일 확률이 큰 블렌드의 경우 약간의 구조 변화에도 상용성의 큰 증가를 보이는 경우가 있다.⁵ 반대로 분자구조의 변형이 상호작용을 감소시켜 상분리를 유도할 수도 있다.

대표적인 예로 bisphenol-A polycarbonate(PC)의 주쇄에 네 개의 메틸기(-CH₃)를 도입한 tetramethyl bisphenol-A polycarbonate(TMPC)는 polystyrene(PS)과 전 조성에서 상용성을 보이나,^{4,6} PC는 상분리 거동을 보인다.⁷ Poly(styrene-co-acrylonitrile)(SAN)과의 블렌드에서 TMPC는 AN의 함량이 13 wt%보다 작은쪽에서 상용성을 보이나, PC는 전 AN 함량 영역에서 상분리 거동을 보이며, AN의 함량이 25~27wt%인 경우 가장 좋은 부분적인 상용성을 가진다.^{6,8} 한편, linear aliphatic polyesters의 CH₂/COO 반복 단위의 몰비가 변하는 경우 PC는 CH₂/COO=2~5에서 상용성을 보이는^{9,10} 반면, TMPC는 CH₂/COO=5 이상에서 상용성을 보인다.¹¹

PC와 poly(ϵ -caprolactone)(PCL)이 상용성이 있다는 사실은 이미 잘 알려져 있으나,^{9,12} polarylate(PAr)와 PCL의 블렌드는 상분리 거동을 보인다.³ 한편 PAr은 PC와 마찬가지로 SAN의 블렌드는 전 AN 함량 범위에서 상분리 거동을 보이며 AN의 함량이 25wt%인 경우 가장 좋은 부분적인 상용성을 보인다.¹³ 그런데 tetramethyl bisphenol-A polarylate(TMPAr)는 TMPC와 같이 SAN과 상용성을 가지며 AN의 함량이 조금 많은 4~15%에서 상용성을 갖는다.¹⁴ TMPC는 aliphatic polyesters 중 CH₂/COO=7인 경우 가장 좋은 상용성을 보인다.⁹ TMPAr은 TMPC와 화학적 구조가 비슷하여 앞에서 기술한 바와 같이 다른 고분자와의 상용성 거동이 유사한 점이 있으므로 CH₂/COO 비가 7인 aliphatic polyester와 좋은 상용성을 가질 것으로 생각되어, 본 연구에서는 TMPAr과 poly(hexamethylene sebacate)(PHS) 블렌드의 상용성을 조사하였다.

실험

합성. TMPAr합성에 필요한 tetramethyl bisphenol-A(TMBPA)는 2:1 몰비의 2,6-dimethyl phenol(DMP)과 acetone을 사용하여 산 촉매 하에서 합성하였다.¹⁵ 수율은 사용된 DMP 기준으로 약 60%였으며, 녹는점은 165°C이었다.

TMBPA와 terephthaloyl chloride/isophthaloyl chloride(50/50)혼합물의 몰비를 1:1로 하여 chloroform(CHCl₃) 중에서 triethyl amine을 acid acceptor로 사용하여 TMPAr을 합성하였다.¹⁴ FT-NMR(Bruker, AC-80)에 의한 구조분석 결과를 Fig. 1에 보였다. 합성한 TMPAr의 물성은 Table 1에 나타내었다.

블렌딩. 용매로 CH₂Cl₂를 사용하여 solvent casting 방법으로 블렌딩하였다. 즉 TMPAr과 PHS를 조성별로 용매에 1시간 동안 교반하면서 완전히 용해시킨 다음, 상온에서 casting하여 대부분의 용매를 증발시킨 후, 60°C에서 72시간 진공 건조하였다. 사용한 PHS의 물성은 Table 1에 나타내었다.

분석. 분자량은 용매로 HPLC용 tetrahydrofuran(THF)을 사용하여 25°C에서 GPC(Waters 100)로 측정하였으며 표준시료는 PS를 사용하였다.

핵자기 공명분석은 CDCl₃에 시료를 녹여 상온에서 행하였고 내부 표준 물질로는 tetramethyl silane

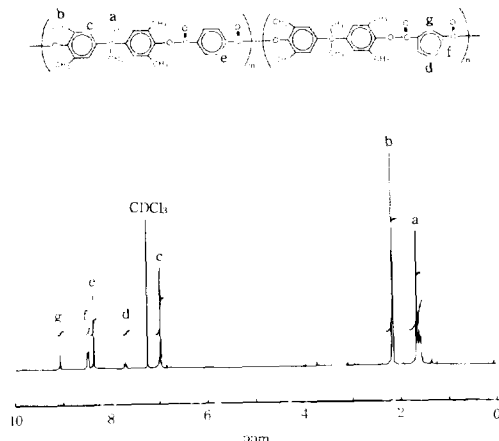


Fig. 1. FT-NMR spectrum of TMPAr.

Table 1. Polymer Used in This Study

Designation	Polymer	Density (g/cm ³)	\bar{M}_w^a	T_g^b (°C)	T_m^b (°C)	Source
TMPAr	Tetramethyl bisphenol-A polyarylate	1.12 ^b	27,700	225	—	Synthesized
PHS	Poly(hexamethylene sebacate)	1.03 ^c	44,500	-63	75	SPP ^d

^a Determined by GPC at 25 in THF^b Determined experimentally in this study^c Ref.11^d Scientific Polymer Products

을 사용하였다.

열분석은 Perkin Elmer사의 시차주사열량계(DSC-7)를 사용하였다. 시료 20 mg 이상을 알루미늄 팬에 넣고, 150°C에서 5분간 유지한 후, 20°C/min으로 250°C까지 승온시켰다. 이를 액체질소로 굽냉시키고 다시 -150°C에서 250°C까지 20°C/min으로 승온시키면서 유리전이온도(T_g), 녹는점(T_m), 저온 결정화온도(T_{cc})를 관찰하였다. 강온결정화온도(T_{mc})는 시료 5 mg을 100°C에서 10분간 가열한 후, 100°C에서 0°C까지 20°C/min으로 강온하면서 측정하였다. 평형녹는점(T_m^o)을 결정하기 위한 T_m 은 시료 2 mg을 100°C에서 10분간 유지한 다음, 320°C/min으로 결정화온도(T_c)까지 굽냉시켜 30분간 동온 결정화 시킨 후, 0°C에서 100°C까지 20°C/min로 승온하면서 구하였다.

결과 및 고찰

TMPAr/PHS 블렌드의 상거동. 고분자 블렌드의 상용성은 투명도, T_g 의 변화, 녹는점 내림, 기계적 성질의 변화, 미세구조 관찰 등을 이용하여 살펴볼 수 있으며 그 중에서 가장 널리 쓰이고 있는 것이 T_g 의 측정에 의한 방법이다. 상용성이 있는 블렌드 계에서는 각 순수한 성분의 T_g 사이에서 블렌드 조성에 의존하는 한 개의 T_g 가 관찰되나, 상용성이 없거나 부분적인 상용성을 가지는 블렌드 계에서는 각 구성 성분의 T_g 로부터 조금씩 이동된 위치에서 두 개의 독립된 T_g 가 관찰된다.

Fig. 2는 TMPAr/PHS 블렌드의 DSC 측정 결과이다. 블렌드의 전 조성에서 하나의 T_g 를 보이고 있

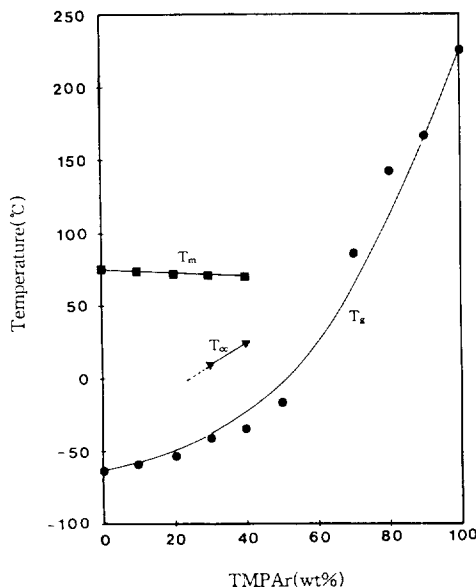


Fig. 2. Dependence of glass transition temperature (T_g), melting temperature(T_m), and cold crystallization temperature(T_{cc}) of TMPAr/PHS blends on the weight fraction of TMPAr : (●) T_g , (■) T_m , and (▼) T_{cc} .

다. PHS의 T_m 은 TMPAr의 함량이 40%인 조성까지만 뚜렷이 보이고 있으며 TMPAr의 함량이 증가함에 따라 감소하고 있다. 이러한 결과는 TMPAr과 PHS가 전 조성에서 상용성을 가짐을 보여 준다.

Fig. 3에서 보면 빠른 결정화 겨울으로 순수한 PHS에서는 관찰할 수 없었던 T_{cc} 가 TMPAr/PHS=30/70, 40/60에서 보이며 TMPAr의 함량이 증가하면서 증가하는 경향을 보인다. 고분자 블렌드는 통상 amorphous 영역에서 섞이는 것으로 알려져 있으며, crystalline 영역이 관여하는 경우 T_g 가 Fox 등의 관

Tetramethyl Bisphenol-A Polyarylate와 Poly(hexamethylene sebacate)의 상용성

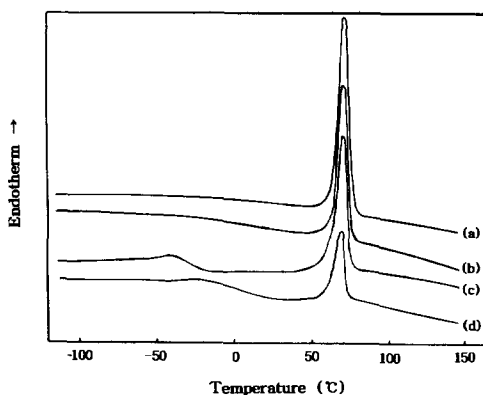


Fig. 3. DSC thermograms on heating of TMPAr/PHS blends : (a) 0/100, (b) 20/80, (c) 30/70, and (d) 40/60.

제식에서 벗어나는 경우가 있다.^{16,17} 본 연구에서는 가능한 한 이를 방지하기 위해 두 고분자의 T_g 이상에서 질소로 금냉시켰다. 한편 polyester 블렌드의 경우 degradation 반응, transesterification 반응 등에 의한 열적 성질의 변화가 우려되나, PHS를 질소 분위기 하에서 50°C에서 550°C까지 20°C/min으로 승온시키면서 열 중량 분석을 해 본 결과 300°C까지 열적 안정성을 보였으며, trimethyl phosphate를 transesterification 반응의 방지제로 사용한 예비 실험 결과 본 분석 조건에서는 그 영향이 크지 않음을 확인하였다.¹⁸

T_{mc} 는 구성 고분자간의 상용성이 있어 문자쇄의 결정화속도가 늦어지는 경우 감소하며 이러한 변화는 T_g , T_m 의 변화보다 예민하게 관찰된다.^{19~21} Fig. 4에서 TMPAr의 함량이 증가함에 따라 T_{mc} 와

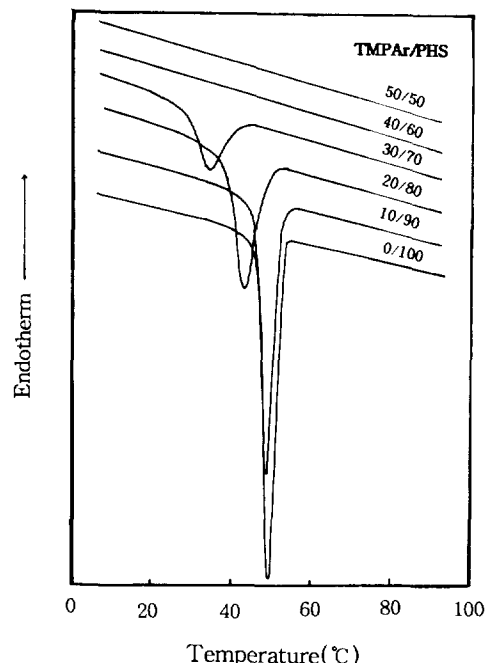


Fig. 4. DSC thermograms on cooling of melt crystallization temperature(T_{mc}) of TMPAr/PHS blends.

강온 결정화열(ΔH_{mc})이 감소하면서 그 구간이 넓어지다가 TMPAr/PHS=40/60에서 완전히 사라지는 경향을 보이고 있다.

이상의 결과를 Table 2에 나타내었다.

녹는점 내림. 상용성이 있는 고분자 블렌드에서 한쪽 성분이 결정성이면 녹는점 내림(melting point depression)을 관찰할 수 있으며 이로부터 두 고분자 간의 상호작용인자 B값을 구할 수 있다. 전 조성에서 상용성이 있는 고분자 블렌드에서의 녹는점 감소는

Table 2. Thermal Properties of TMPAr/PHS Blends

Wt% of TMPAr	0	10	20	30	40	50	70	90	100
T_g (°C)	-63	-59	-54	-47	-33	-20	86	162	225
T_m (°C)	75.0	74.0	72.0	71.5	70.0	(69.5)			
T_{cc} (°C)	-	-	-	5	23				
T_{mc} (°C)	49.2	48.7	43.1	34.2	-	-			
ΔH_m^a (J/g)	126.3	100.9	97.6	97.1	54.3				
ΔH_{mc}^b (J/g)	100.9	96.3	89.0	82.8	-	-			

^a the heat of fusion on heating

^b the heat of crystallization on cooling

형태학적인 효과(morphological effect)와 희석 효과(diluent effect)²²에서 기인되며, 형태학적인 효과를 없애기 위해 Hoffman-Weeks 식²³이 사용된다. 그 식은 다음과 같다.

$$T_m^\circ - T_m = \Omega(T_m^\circ - T_c) \quad (1)$$

여기서 T_m° 는 평형 녹는점, T_m 은 T_c 에서 등온 결정화 시킨 경우 관찰되는 녹는점을 말한다. Ω 는 안정 계수로 결정의 크기와 결정화도에 의존한다. 만약 Ω 가 T_c 에 무관하다면, T_m° 는 T_m 을 T_c 에 대해 도시하여 $T_m^\circ = T_c$ 직선과 만나는 점으로부터 구할 수 있다.

Fig. 5에 PHS와 TMPAr/PHS 블렌드의 평형 녹는점을 구하기 위해 시도한 Hoffman-Weeks plot을 나타내었다. 관찰되는 녹는점(T_m)이 등온 결정화 온도(T_c)가 증가함에 따라 직선적으로 증가하고 있다. 블렌드에서 PHS의 평형 녹는점(T_{mb}°)은 TMPAr의 함량이 증가함에 따라 감소하고 있다. 이것은 TMPAr/PHS 블렌드 계가 상용성이 있다는 또 다른 증거가 된다. 결정된 평형 녹는점은 Table 3에 나타내었다.

식(2)는 Scott의 열역학적 이론으로부터²⁴ Nishi와 Wang²⁵이 상용성이 있는 고분자 블렌드에서 평형 녹는점 내림과 상호작용인자 B값 사이의 관계를 유도한 식으로 엔트로피 부분은 무시한 것이다.

$$T_m^\circ - T_{mb}^\circ = -B \cdot \frac{V_{2u}}{\Delta H_{2u}} \cdot T_m^\circ \phi_1^2 \quad (2)$$

여기서 $\Delta H_{2u}/V_{2u}$ 는 100% 결정성 성분의 단위 부피당 녹음열, ϕ_1 는 비결정성 고분자의 부피분율, T_m° 와 T_{mb}° 는 각각 순수한 결정성 고분자와 블렌드 물의 평형 녹는점이다. 따라서 Hoffman-Weeks plot으로부터 구한 평형녹는점을 사용하여 $\Delta T_m (= T_m^\circ - T_{mb}^\circ)$ 을 ϕ_1^2 에 대해 도시하면 그 기울기로부터 B 값을 구할 수 있다.

Fig. 6은 ΔT_m 을 ϕ_1^2 에 대하여 도시한 것으로 기울기는 0.07321, 절편은 0.00247이다. 무게분율을 부피분율로 바꾸기 위해 측정한 밀도를 사용하였으

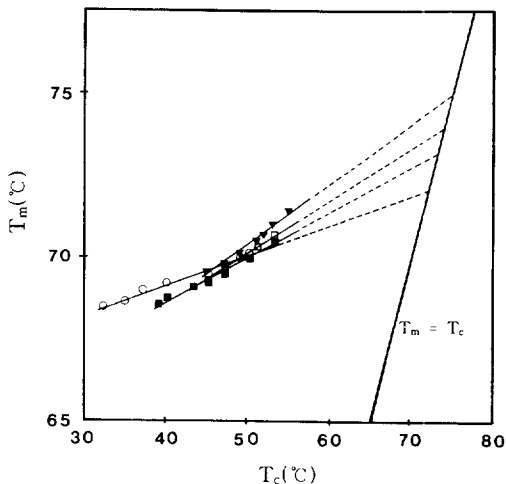


Fig. 5. Hoffman-Weeks plots for TMPAr/PHS blends : (▼) 100, (□) 90, (■) 80, and (○) 70 weight percent PHS.

Table 3. Equilibrium Melting Temperature for PHS (T_m°) and TMPAr/PHS Blends(T_{mb}°)

Sample	T_{mb}° (°C)
PHS	75.0 (T_m°)
PHS/TMPAr(90/10)	73.9
PHS/TMPAr(80/20)	73.1
PHS/TMPAr(70/30)	72.1

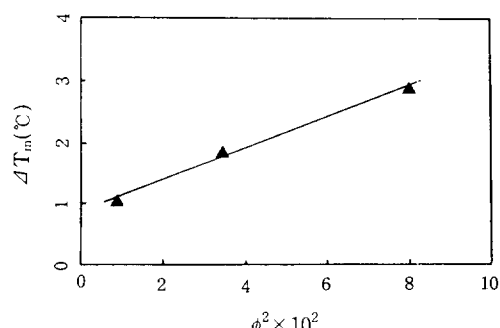


Fig. 6. Plot of the equilibrium melting point depression vs. the square of the volume fraction of TMPAr.

며, 기울기와 $\Delta H_{2u}/V_{2u} = 37.38(\text{cal/cm}^3)$ 를²⁶ 사용하여 $B = -2.74(\text{cal/cm}^3)$ 을 얻었다. 한편, 식(2)에 따르면 절편이 0이어야 한다. 그러나 Fig. 6에 보듯이 절편이 양의 값을 가지는 것은 두 пол리머가 섞이면서 발생되는 엔트로피 효과에 기인하는 것으로 생

Tetramethyl Bisphenol-A Polyarylate와 Poly(hexamethylene sebacate)의 상용성

Table 4. Calculated Values of Solubility Parameter(δ)

Polymer	$\delta((\text{cal}/\text{cm}^3)^{1/2})$
PAr	11.71
TMPAr	9.44
PHS	9.23
PE	8.03

각 된다.^{24,27}

TMPAr/PHS 블렌드의 상용성 해석. 일반적으로 용해도 상수는 두 구성 성분 물질의 상용성을 예측하는 하나의 지표로서 사용될 수 있다. 본 연구에서 TMPAr, PAr, PHS와 polyethylene(PE)의 용해도 상수값을 Hoy 등이 제안한 바와 같이 group contribution 방법에 의해 계산하였고,²⁸ 그 결과를 Table 4에 나타내었다.

TMPAr의 용해도 상수값이 PAr보다 작음을 볼 수 있는데 이는 PAr의 주쇄에 메틸기가 도입됨으로써 hydrophobicity가 증가되었음을 나타낸다. 또, $|\delta_{\text{PAr}} - \delta_{\text{PHS}}| = 2.48(\text{cal}/\text{cm}^3)^{1/2}$, $|\delta_{\text{TMPAr}} - \delta_{\text{PHS}}| = 0.21(\text{cal}/\text{cm}^3)^{1/2}$ 로 PAr보다 TMPAr의 용해도 상수값이 PHS의 용해도 상수값에 훨씬 더 근접하고 있으며 이로부터 TMPAr/PHS 블렌드 계가 PAr/PHS 블렌드 계보다 상용성이 더욱 클 것으로 예측할 수 있다.

한편, 분자간에 수소 결합과 같은 큰 상호작용이 존재하지 않는 블렌드 계에 있어서 상용성은 일반적으로 분자내 반발 효과(intramolecular repulsion effect)로 설명할 수도 있다.²⁹ PHS를 (CH_2)와 (COO)의 불규칙 공중합체(random copolymer)라고 가정하면, TMPAr과 PHS 사이의 상호작용인자 B는 각 성분의 B_{ij} 값과 공중합체 내의 각 반복 단위의 부피 분율 Φ_i 값을 이용하여 다음 식(3)과 같이 표현된다.

$$B = B_{\text{TMPAr-CH}_2} \cdot \Phi_{\text{CH}_2} + B_{\text{TMPAr-COO}} \cdot \Phi_{\text{COO}} - B_{\text{CH}_2-\text{COO}} \cdot \Phi_{\text{CH}_2} \cdot \Phi_{\text{COO}} \quad (3)$$

TMPAr/PHS 블렌드 계에서도 특별한 분자간 상호작용이 존재하지 않으며, PHS 내부에서 (CH_2)

unit과 (COO) unit 간의 상호작용인자 $B_{\text{CH}_2-\text{COO}} = 286(\text{cal}/\text{cm}^3)$ 으로³⁰ 그 반발효과가 매우 크다. 또한 정성적으로 PAr보다 hydrophobic한 TMPAr이 (CH_2) unit에 더 나은 친화력을 가질 것으로 예상할 수 있으며, 정량적으로 용해도 상수값을 계산한 결과로도 $|\delta_{\text{TMPAr}} - \delta_{\text{PE}}| = 1.41(\text{cal}/\text{cm}^3)^{1/2}$ 이고 $|\delta_{\text{PAr}} - \delta_{\text{PE}}| = 3.68(\text{cal}/\text{cm}^3)^{1/2}$ 로 ΔH_m 에 대한 Hildebrand와 van Laar의 표현으로부터 유도된 $B_{12} = (\delta_1 - \delta_2)^2$ 의 관계를 이용하여 $B_{\text{TMPAr-CH}_2} = 1.99(\text{cal}/\text{cm}^3)$ 와 $B_{\text{PAr-CH}_2} = 13.54(\text{cal}/\text{cm}^3)$ 의 값을 얻을 수 있다. 식(3)에서 PHS 내부의 (CH_2) unit과 (COO) unit 간의 큰 반발력과 분자간 상호작용에 큰 기여($\Phi_{\text{CH}_2} > \Phi_{\text{COO}}$)를 하는 $B_{\text{TMPAr-CH}_2}$ 값의 감소로부터 TMPAr/PHS 블렌드 계의 상호작용인자 B 값이 (-) 값을 가지는 것으로 생각된다.

결 론

TMPAr과 PHS 블렌드는 전 조성에서 상용성을 보였다. 이는 PAr에 비해 TMPAr이 hydrophobicity가 커서, PHS와의 용해도 상수값이 접근함으로써 기인되는 상호작용의 증가와 PHS 내에서 CH_2 unit과 COO unit 간의 반발효과로 인해 상용성이 생긴 것으로 생각된다. 녹는점 내림 방법으로 구한 TMPAr/PHS 블렌드 계의 상호작용인자 B 값은 $-2.74(\text{cal}/\text{cm}^3)$ 이었다.

참 고 문 헌

- O. Olabisi, L. M. Robeson, and M. T. Shaw, 'Polymer-Polymer Miscibility', Academic Press, New York, 1979.
- D. R. Paul and S. Newman(Eds.), 'Polymer Blends', Academic Press, New York, 1978.
- Leszek A. Utracki, 'Polymer Alloys and Blends', Oxford University Press, New York, 1990.
- M. T. Shaw, *J. Appl. Polym. Sci.*, **18**, 449 (1974).
- E. M. Pearce, T. K. Kwei, and B. Y. Min, *J. Macromol. Sci. Chem.*, **A21**, 1181 (1984).

6. A. C. Fernandes, J. W. Barlow, and D. R. Paul, *Polymer*, **27**, 1788 (1986).
7. T. Kunori and P. H. Geil, *J. Macromol. Sci. Phys.*, **B18(1)**, 93 (1980).
8. J. D. Keitz, J. W. Barlow, and D. R. Paul, *J. Appl. Polym. Sci.*, **29**, 3131 (1984).
9. C. A. Cruz, J. W. Barlow, and D. R. Paul, *Macromolecules*, **12**, 726 (1979).
10. C. A. Cruz, D. R. Paul, and J. W. Barlow, *J. Appl. Polym. Sci.*, **23**, 589 (1979).
11. A. C. Fernandes, J. W. Barlow, and D. R. Paul, *Polymer*, **27**, 1799 (1986).
12. J. M. Jonza and R. S. Porter, *Macromolecules*, **19**, 1946 (1986).
13. T. O. Ahn, Y. J. Lee, and S. M. Lee, *J. Macromol. Sci. Phys.*, **B29(1)**, 91 (1990).
14. B. U. Nam and Dalho Um, *Polymer(Korea)*, **16(6)**, 729 (1992).
15. J. Y. Jho, Ph. D. Dissertation, University of Michigan, 1990.
16. L. M. Robeson, W. F. Hale, and C. N. Merriam, *Macromolecules*, **14**, 1644 (1981).
17. E. M. Woo, J. W. Barlow, and D. R. Paul, *J. Appl. Polym. Sci.*, **29**, 1971 (1984).
18. T. O. Ahn, S. Lee, H. M. Jeong, and K. Cho, *Angew. Macromol. Chem.*, **192**, 133 (1991).
19. T. T. Wang and T. Nishi, *Macromolecules*, **10**, 421 (1977).
20. E. Martuscelle, F. Riva, C. Sellitti, and C. Silvestre, *Polymer*, **26**, 270 (1989).
21. S. M. Lee, Ph. D. Dissertation, Seoul National University, Seoul, 1992.
22. P. B. Kim and J. P. Runt, *Macromolecules*, **17**, 1520 (1984).
23. J. D. Hoffman and J. J. Weeks, *J. Chem. Phys.*, **14**, 4310 (1965).
24. R. L. Scott, *J. Chem. Phys.*, **17**, 279 (1949).
25. T. Nishi and T. T. Wang, *Macromolecules*, **8**, 909 (1975).
26. M. K. Neo and S. H. Goh, *Polymer*, **15**, 3203 (1992).
27. M. Avrami, *J. Chem. Phys.*, **7**, 1103 (1939).
28. D. W. Van Krevelen, 'Properties of Polymers', Elsevier Scientific Publishing Company, Amsterdam, 1990.
29. D. R. Paul and J. W. Barlow, *Polymer*, **25**, 487 (1984).
30. E. M. Woo, J. W. Barlow, and D. R. Paul, *Polymer*, **26**, 763 (1985).